

## 2.5. НЕЛИНЕЙНОЕ ПРОГРАММИРОВАНИЕ (НП – ПРОГРАММИРОВАНИЕ)

Постановка НП-задачи формулируется как нахождения оптимума целевой функции  $f(X)$  при ограничениях и задаётся моделью вида

$$\begin{cases} f(x_1, x_2, \dots, x_n) \rightarrow \max, \\ g_1(x_1, x_2, \dots, x_n) \geq 0, \\ g_2(x_1, x_2, \dots, x_n) \geq 0, \\ \dots \\ g_m(x_1, x_2, \dots, x_n) \geq 0. \end{cases} \quad (2.67)$$

где функции  $f(X)$  и  $g_i(X)$ ,  $i = 1, m$ , в общем случае, нелинейные.

НП-задачи существенно отличаются от ЗЛП неформализованностью методов их решения. Нелинейность приводит к тому, что:

- область принятия решения может быть невыпуклая;
- область может иметь бесконечное число крайних точек.

Поэтому для решения НП-задач разработаны методы, которые ориентированы на классы задач в их конкретной постановке.

**Общего подхода**, являющегося универсальным во всех случаях, **создать не удалось**.

### 2.5.1. Аналитические методы определения экстремумов

Указанные методы основываются на известных вам методах классического математического анализа, базируясь на ряд теорем [29].

**Теорема 1 (о существовании экстремума)**. Если функция многих переменных  $f(x_1, x_2, \dots, x_n)$  непрерывна и определена на замкнутом множестве  $\mathcal{H}$ , то она достигает на этом множестве, **по крайней мере, один раз** своего минимального и максимального значений.

**Теорема 2 (о местоположении экстремума)**. Если  $f(x_1, x_2, \dots, x_n)$  является функцией нескольких переменных, определённой на допустимой области  $\mathcal{H}$ , то экстремальное значение  $f$  (если оно существует) достигается в одной или нескольких точках, принадлежащих:

- множеству стационарных точек  $S(X)$ ;
- множеству точек границы  $G(X)$ ;

- множеству точек, в которых (где) функция  $f(x_1, x_2, \dots, x_n)$  не дифференцируема.

Множество точек  $S(X)$  функции  $f(x_1, x_2, \dots, x_n)$  называется множеством стационарных точек, если его элементы удовлетворяют условию

$$\nabla f(X) = \left\{ \frac{\partial f(X)}{\partial x_j}, j = 1, \bar{n} \right\} = 0. \quad (2.68)$$

Вектор  $\nabla f(X)$  – называют градиентом функции.

Находящий в стационарной точке **минимум** или **максимум** функции, может быть как **абсолютным**, так и **относительным**.

**Относительный максимум** функции  $f(X)$  достигается в точке  $X^0$  с координатами  $(x_1^0, x_2^0, \dots, x_n^0)$ , если для всех точек, лежащих в малой окрестности точки  $X^0$ , имеет место неравенство  $f(X^0) \geq f(X^0 + H)$ , где  $H = \{h_1, h_2, \dots, h_n\}$ .

Относительный максимум называется ещё **локальным** максимумом.

Абсолютный максимум функции  $f(X)$  достигается в точке  $X^*$  с координатами  $(x_1^*, x_2^*, \dots, x_n^*)$ , если для всех точек, принадлежащих множеству ограничений  $\mathcal{H}$  справедливо неравенство  $f(X^*) \geq f(X)$ , где  $X = \{x_1, x_2, \dots, x_n\} \in \mathcal{H}$ .

Абсолютный максимум называется ещё **глобальным** максимумом.

Аналогично, с точностью до знака неравенства, формулируются определения абсолютного и относительного минимумов.

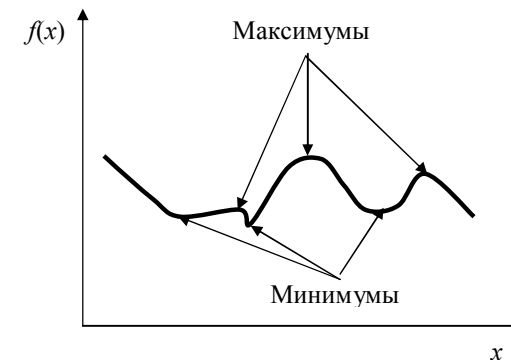


Рисунок 2.11 – Локальные и глобальные экстремумы

Характер экстремума, минимум или максимум, характеризуется выпуклостью или вогнутостью функции (рисунок 2.11).

Пусть  $\mathcal{H}$  – выпуклое множество точек  $n$ -мерного пространства.

Если для произвольного множителя  $k \in [0, 1]$  и некоторого приращения  $\Delta X$  выполняется неравенство

$$f(X + k\Delta X) \geq f(X) + k[f(X) - f(X + \Delta X)], \quad (2.69)$$

то функция называется **вогнутой** (обращена выпуклостью вверх, в отличие от математического анализа!!!), а если

$$f(X + k\Delta X) \leq f(X) + k[f(X) - f(X + \Delta X)], \quad (2.70)$$

то функция называется **выпуклой**.

Если неравенства (2.69) и (2.70) строгие, говорят о **строгой вогнутости** и **строгой выпуклости**. Для одномерного случая указанные неравенства интерпретируются графически, как это представлено на рисунке 2.12.

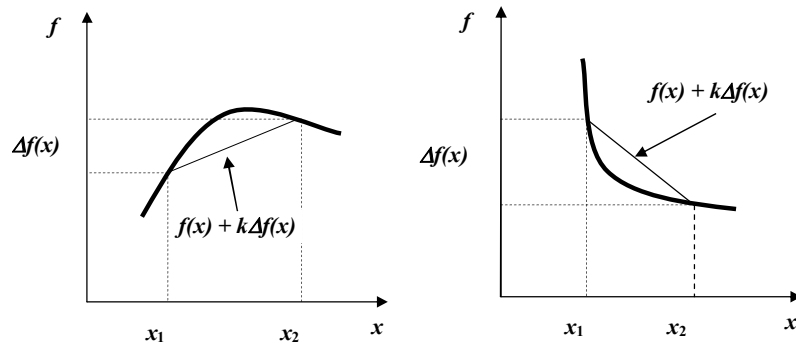


Рисунок 2.12 – Вогнутости и выпуклости функций

В многомерном случае непосредственное применение (2.69) или (2.70) является проблематичным. С этой целью применяется матрица Гессе (или Гессе), элементы которой составляются из производных второго порядка и определяются так:

$$h_{i,j} = \left[ \frac{\partial^2 f(X)}{\partial x_i \partial x_j} \right]_{X=X_0}, \quad i=1, \bar{n}, j=1, \bar{m}. \quad (2.71)$$

Матрица Гессе (обозначается как  $\nabla^2 f(X)$  и  $H(X)$ ) называется **положительно определённой**, если её главные угловые миноры

**положительны**, и **отрицательно определённой**, если её главные угловые миноры имеют знак  $(-1)^k$ ,  $k$  – номер углового минора.

В качестве напоминания [16, 18]: **минором элемента  $a_{ij}$  матрицы  $A$  называется определитель, построенный из элементов этой матрицы, оставшихся после вычёркивания  $i$ -ой строки и  $j$ -ого столбца.**

**Главные угловые миноры матрицы соответствуют элементам, расположенным вдоль главной (с Северо-запада на Юго-восток) её диагонали.**

$$\mu_1 = \begin{vmatrix} h_{1,1} & h_{1,2} & h_{1,3} \\ h_{2,1} & h_{2,2} & h_{2,3} \\ h_{3,1} & h_{3,2} & h_{3,3} \end{vmatrix} = \begin{vmatrix} h_{2,2} & h_{2,3} \\ h_{3,2} & h_{3,3} \end{vmatrix} = h_{2,2} \cdot h_{3,3} - h_{3,2} \cdot h_{2,3}.$$

Положительная определённость матрицы Гессе соответствует **выпуклости** функции, отрицательная определённость – **вогнутости**. Случай, когда знаки чередуются не по порядку, соответствует **перегибу**.

**Теорема 3.** Для того, чтобы в точке  $X_0$  достигался внутренний относительный максимум, достаточно **равенства нулю всех первых производных** и **строгой вогнутости** функции в окрестностях  $X_0$ .

**Теорема 4.** Для того, чтобы в точке  $X_0$  достигался внутренний относительный минимум, достаточно **равенства нулю всех первых производных** и **строгой выпуклости** функции в окрестностях  $X_0$ .

**Пример.** Исследовать на экстремум функцию без ограничений

$$f(x_1, x_2, x_3) = x_1 + 2x_3 + x_2 \cdot x_3 - x_1^2 - x_2^2 - x_3^2.$$

Градиент этой функции есть

$$\nabla f(x_1, x_2, x_3) = \{1 - 2x_1; x_3 - 2x_2; 2 + x_2 - 2x_3\}.$$

Используя условие стационарной точки (2.68), получим её координаты

$$X_0 = \left\{ \frac{1}{2}; \frac{2}{3}; \frac{4}{3} \right\}.$$

Матрица Гессе, построенная для рассматриваемого случая

$$\nabla^2 f(X) = \begin{pmatrix} -2 & 0 & 0 \\ 0 & -2 & 1 \\ 0 & 1 & -2 \end{pmatrix}.$$

Её угловые миноры суть

$$\mu_1 = \begin{vmatrix} -2 & 1 \\ 1 & -2 \end{vmatrix} = 3, \mu_2 = \begin{vmatrix} -2 & 0 \\ 0 & -2 \end{vmatrix} = 4, \mu_3 = \begin{vmatrix} -2 & 0 & 0 \\ 0 & -2 & 1 \\ 0 & 1 & -2 \end{vmatrix} = 4.$$

Они положительны, следовательно, матрица Гессе положительно определена, функция выпукла, и в точке  $X_0$  с координатами  $\left\{\frac{1}{2}; \frac{2}{3}; \frac{4}{3}\right\}$  достигается минимум.

2.5.2. Методы поиска экстремумов в задачах без ограничений или в случае ограничений с разделяющимися переменными

Ограничение  $g_i(x_1, x_2, \dots, x_n) = 0$  является функцией с **разделяемыми переменными (сепарабельной)**, если его можно представить в виде

$$x_i = \varphi_i(\{x_j\}), \quad i \neq j, \quad j = 1, \bar{n}.$$

#### Общий алгоритм решения

- Отыскивается множество всех стационарных точек  $S$  функции  $f(X)$  внутри допустимого множества  $\mathcal{U}$  и выбираются координаты точки, в наибольшей степени отвечающие направлению оптимизации задачи.
- Рассматривается множество точек границы  $G$ . Для этого выполняются разделение переменных по каждому из ограничений, с последующей подстановкой выражений переменных в функцию цели  $f(X)$ . Полученные функции исследуются на экстремумы. Выбираются координаты интересующего нас оптимума.
- Определяется и подвергается исследованию множество точек, принадлежащих  $\mathcal{U}$ , где функция не дифференцируема.
- Из результатов предыдущих шагов выбирается наилучшее решение.

Замечания.

1. Метод требует значительных вычислительных затрат и аналитических преобразований.
2. Не отвечает должной формализации для использования вычислительной техники.
3. Применение ограничивается задачами, область поиска решений которых описывается функциями с сепарабельными переменными.

Тем не менее, были разработаны многочисленные методы, направлены на решение задачи и ориентированные на применение ЭВМ. “Движение” текущей точки к оптимуму может происходить различными способами. В зависимости от этого, имеет место следующая классификация, методы подразделяются на:

- прямые методы или методы, использующие лишь значения функции;
- методы первого порядка, использующие, наряду со значениями функции значения первых частных производных;
- методы второго порядка, использующие дополнительно к значениям функции и первых частных производных и прочие частные вторые производные и выше.

Причём производные могут вычисляться как аналитически, так и численно.

#### 2.5.2.1. Прямые методы поиска

##### Одномерный поиск

При одномерном поиске функция  $f(x)$ , экстремум которой ищется, зависит от одной переменной. В дальнейшем будем предполагать, что **решается задача минимизации**. Совершенно аналогичный алгоритм может быть использован и для случая поиска максимума. Отличия будут заключаться в знаках неравенств в проверках, производимых в процессе функционирования алгоритма.

Одномерный поиск является составной частью многих алгоритмов многомерного поиска в качестве вспомогательного. Алгоритмов одномерного поиска разработано изрядно, мы рассмотрим только самые интересные из них как с точки зрения скорости вычислений, так и их структуры.

##### Дихотомический поиск

Так же называется методом половинного деления. Это очень древний алгоритм, известный со времён раннего средневековья Ближнего Востока под названием “Поимка льва в пустыне”.

*Есть пустыня, в ней лев. Делим пустыню пополам, лев окажется в одной из половинок. Часть пустыни, где находится лев, снова подвергается делению... В конце концов, размеры пустыни окажутся чуть больше величины льва, и царя зверей остаётся только заключить в клетку.*

**Входные данные.** Интервал поиска (сиречь, пустыня)  $[a, b]$ ; допустимая конечная длина интервала, определяющая точность расчётов  $l > 0$ ; константа различимости  $\varepsilon$ .

**Условие окончания:**  $b - a \leq l$ .

Дадим пояснение алгоритма с использованием рисунков 2.11 и 2.12.

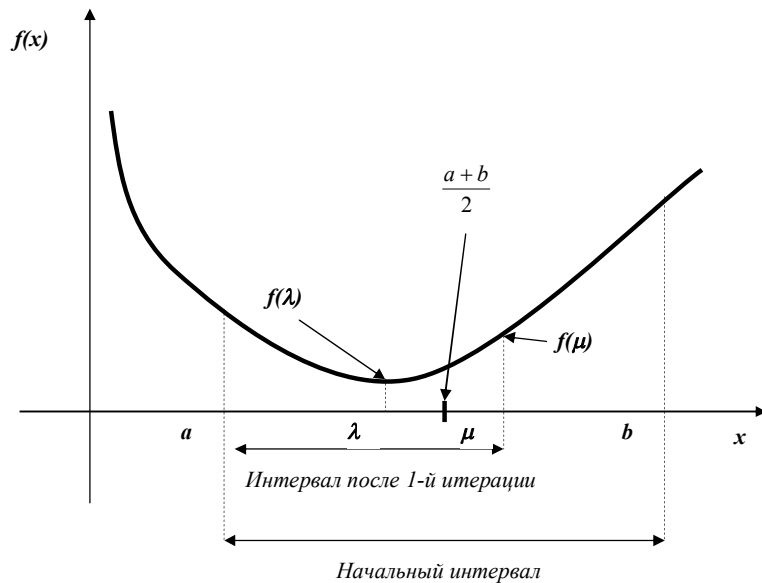


Рисунок 2.13 – Сужение интервала по мере дихотомии

Первоначально вычисляется пара величин:  $\lambda = \frac{a+b}{2} - \varepsilon$  и  $\mu = \frac{a+b}{2} + \varepsilon$ , а также соответствующие им значения функций  $f(\lambda)$  и  $f(\mu)$ . Полученные значения функций сравниваются между собой.

Пусть, например,  $f(\lambda) \leq f(\mu)$  (условие № 1 на схеме алгоритма, рисунок 2.14), выход «да». В этом случае сдвигается граница  $b$ , как это показано на рисунке 2.13. В противном случае, выход «нет», граница  $a$  сдвигается по направлению к середине интервала  $\frac{a+b}{2}$ .

Длительность вычислительного процесса контролируется условием № 2: вычисления заканчиваются при возникновении ситуации  $b - a \leq l$ , которая означает, что границы интервала поиска сузились до заданного точностного размера  $l$ .

Имеется выражение, которое позволяет определить число итераций, необходимое для получения решения с заданной точностью:

$$b_k - a_k = \frac{(b - k)}{2^k} + 2 \cdot \varepsilon \left( 1 - \frac{1}{2^k} \right),$$

где  $k$  – число итераций.

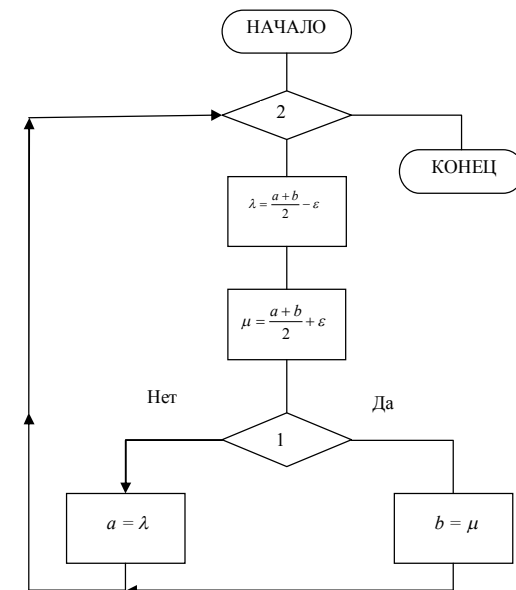


Рисунок 2.14 – Схема алгоритма дихотомического метода

Алгоритм, описанный выше, обладает самой меньшей скоростью сходимости, но, тем не менее, пользуется популярностью у программистов за простоту его реализации.

### Метод золотого сечения

При функционировании метода выполняются условия:

- интервал поиска сужается равномерно;
- параметры точек сравнения и концов интервала соотносятся следующим образом

$$b - \lambda = \mu - a. \quad (2.72)$$

Выполнение (2.72) достижимо, если значения  $\lambda$  и  $\mu$  рассчитывать по формулам

$$\lambda = a + (1 - \alpha) \times (b - a) \text{ и} \quad (2.73)$$

$$\mu = a + \alpha \times (b - a), \quad (2.74)$$

где  $|\alpha| < 1$ .

Действительно, из (2.74) получается

$$\mu - a = \alpha \times (b - a). \quad (2.75)$$

Если  $\lambda$ , определяемое (2.73), подставить в левую часть (2.72), то

$$b - a - (1 - \alpha) \times (b - a) = \alpha \times (b - a). \quad (2.76)$$

Сопоставляя (2.75) и (2.76) видим, что условие (2.72) будет неизменно выполняться при определении  $\lambda$  и  $\mu$  по формулам (2.73) и (2.74).

В ходе вычислений новые границы переставляются таким образом, чтобы либо  $\lambda' = \mu$ , либо  $\mu' = \lambda$ . Таким образом, пересчёт координат и функции в одной из этих точек не производится.

Коэффициент золотого сечения  $\alpha = 0,618...$  есть предел отношения соседних членов ряда Фибоначчи при их числе, стремящемся к бесконечности.

Интервал поиска сужается равномерно, пропорционально  $\alpha$  по закону

$$b_k - a_k = \alpha^k (b - a),$$

что позволяет оценить значение  $k$  – число итераций, необходимых до нахождения оптимума с заданной точностью.

Чертёж, поясняющий ход расчетов, и схема алгоритма представлены на рисунках 2.15 и 2.16.

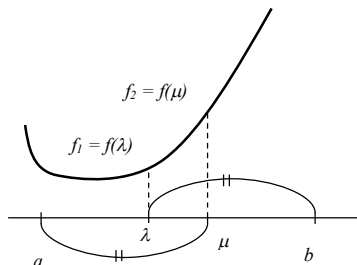


Рисунок 2.15 – Интервалы в методе золотого сечения

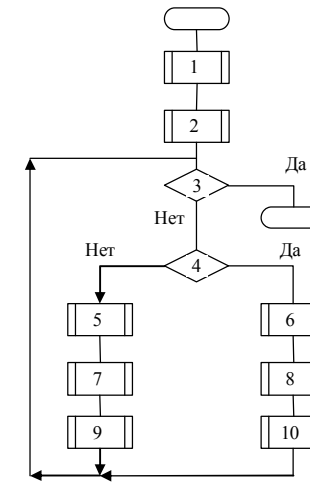


Рисунок 2.16 – Алгоритм метода золотого сечения

*Входные данные.* Интервал поиска  $[a, b]$ ; точность расчётов  $l > 0$ .

Блоки № 1 рассчитывает параметры  $\lambda$  и  $\mu$  по формулам (2.73) и (2.74), а блок № 2 определяет значения функции  $f_1 = f(\lambda)$  и  $f_2 = f(\mu)$ , им соответствующие. Условие 3  $b - a \leq l$  определяет остановку вычислительного процесса при достижении заданной погрешности. Условие 4  $f_1 \leq f_2$  ответственно за сдвиги границ интервала поиска, аналогично дихотомическому методу. Блоки №№ 5, 7, 9 выполняют операции, связанные со сдвигом границы  $a$ .

- 5:  $a = \lambda$ ;  $\lambda = \mu$ .
- 7: Расчёт  $\mu$  по формуле (2.74)
- 9: Перестановка пересчёт значений функций  $f_1 = f_2$ ;  $f_2 = f(\mu)$

Блоки №№ 6, 8, 10 выполняют аналогичные операции, связанные со сдвигом границы  $b$ .

- 6:  $b = \mu$ ;  $\mu = \lambda$ .
- 8: Расчёт  $\lambda$  по формуле (2.73)
- 10: Перестановка пересчёт значений функций  $f_2 = f_1$ ;  $f_1 = f(\lambda)$ .

## Метод Фибоначчи

В отличие от метода золотого сечения, указанный метод

- на каждой итерации изменяет коэффициент сжатия интервала и
- выполняется заранее известного числа шагов.

Основывается на использовании ряда Фибоначчи, элементы которого определяются рекуррентным соотношением

$$F_{n+1} = F_n + F_{n-1}, F_0 = F_1 = 1, \quad (2.77)$$

определяющим, что каждый последующий член ряда образован суммой двух предыдущих:

$$1, 1, 2, 3, 5, 8, 13, 21, 34, 55, 89, 144 \dots$$

*Входные данные.* Интервал поиска  $[a, b]$ , параметр, задающий точность расчётов  $l > 0$ , константа различимости  $\varepsilon \ll l$ .

*Условие окончания:* поиск заканчивается через определённое число шагов (итераций), определяемых по неравенству

$$\frac{b-a}{l} < F_n \Rightarrow n. \quad (2.78)$$

Координаты точек  $\lambda_k$  и  $\mu_k$ , где  $k$  – номер итерации, рассчитываются по формулам

$$\lambda_k = a_k + \frac{F_{n-k-1}}{F_{n-k+1}}(b_k - a_k), \quad (2.79)$$

$$\mu_k = a_k + \frac{F_{n-k}}{F_{n-k+1}}(b_k - a_k). \quad (2.80)$$

Согласно формулам (2.79) и (2.80), от итерации к итерации, интервал поиска меняется по закону

$$b_{k+1} - a_{k+1} = \frac{F_{n-k}}{F_{n-k+1}}(b_k - a_k) = b_k - \lambda_k = \mu_k - a_k, \quad (2.61)$$

причём, перемещение границ интервала поиска и пересчёт  $f(\lambda_k)$  и  $f(\mu_k)$  происходит с соблюдением тех же принципов, что и в методе золотого сечения.

Константа различимости  $\varepsilon$  используется после окончания циклической части алгоритма для уточнения полученного результата. Схема алгоритма представлена рисунком 2.17.

Блок № 1 выполняет подготовительные операции: осуществляется расчёт ряда Фибоначчи (2.77), попутно определяется (2.78) – число членов ряда  $n$ , необходимых для расчёта; начальные значения

$$\lambda_0 = a + \frac{F_{n-2}}{F_n}(b-a), \quad \mu_0 = a + \frac{F_{n-1}}{F_n}(b-a), \quad f_1 = f(\lambda_0) \text{ и } f_2 = f(\mu_0).$$

Блок № 2 есть заголовок цикла изменения счётчика  $k$  от 1 до  $n-2$ , тело цикла представляется блоками №№ 3 – 5.

Условие, управляющее сдвигом границ,  $f_1 \leq f_2$ , представлено блоком № 3.

Сдвиг левой границы, выход «нет» блока № 3, выполняется в блоке № 4:

- $a = \lambda_k$ ;  $\lambda_k = \mu_k$ .
- Расчёт  $\mu_k$  по формуле (2.80)
- Перестановка пересчёт значений функций  $f_1 = f_2$ ;  $f_2 = f(\mu_k)$ .

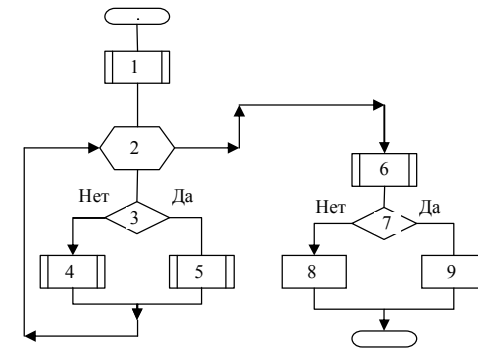


Рисунок 2.17 – Алгоритм метода Фибоначчи

Сдвиг правой границы, выход «да» блока № 3, выполняется в блоке № 5:

- $b = \mu_k$ ;  $\mu_k = \lambda_k$ .
- Расчёт  $\lambda_k$  по формуле (2.79)
- Перестановка пересчёт значений функций  $f_2 = f_1$ ;  $f_1 = f(\lambda_k)$ .

Блоки №№ 6, 7, 8 и 9 осуществляют уточнение результата методом половинного деления. Блок № 6 выполняет операции  $\mu = \lambda + \varepsilon$  и  $f_2 = f(\mu)$ . Блок № 7 проверяет условие  $f_1 \leq f_2$  и, в зависимости от его выполнения, сдвигает левую границу, выход «нет» блок № 8,  $a = \lambda$ , либо правую, выход «да», блок № 9,  $b = \mu$ .

## Многомерный поиск

При многомерном поиске функция  $f(X)$ , экстремум которой ищется, зависит от нескольких переменных. Алгоритмы многомерного поиска эвристические. Хотя некоторые из них носят имена своих первооткрывателей, не факт, что они не переизобретаются заново многочисленными последователями, хотя и более невежественными в плане оптимизации, но, тем не менее, более подкованными в плане алгоритмизации.

### Метод конфигураций

Метод конфигураций называется так же методом траекторий или, по имени авторов, методом Хука и Дживса.

Идея метода состоит в следующем.

- Направления поиска ориентированы, так сказать, по сторонам света или вдоль осей координат в обе стороны.
- Вокруг текущей точки производится поиск направления, в котором функция убывает.
- Если такое направление найдено, то шаг поиска увеличивается, а поиск продолжается в выбранном направлении – устанавливается так называемый тренд поиска, и осуществляется до тех пор, пока функция в этом направлении убывает.
- Если факта убывания функции не обнаружено, то шаг поиска уменьшается.

Таким образом, делается попытка найти «овраг» (при минимизации) функции и двигаться вдоль него к точке минимума.

В задачи максимизации ищется направление возрастания функции и «хребет».

Алгоритм метода показан на рисунке 2.18.

**Входные данные.** Начальное значение шага  $\lambda$ , координаты начальной точки  $X_0$  ускоряющий множитель  $\alpha$ , точность нахождения решения  $\varepsilon$ , список возможных направлений поиска  $S = \{s_1, s_2, \dots, s_n\}$ . Для числа переменных равно двум, это орты:  $s_1 = (0, 1)$  и  $s_2 = (1, 0)$ .

**Условие окончания:** значение текущего шага укладывается в точность,  $\varepsilon \geq \lambda$ .

Блок № 1. Координаты начальной точки переприсваивается текущей переменной:  $Y = X_0$ .

Блок № 2. Организуется цикл перебора направлений поиска  $j = 1, n$ , тело цикла составляют блоки №№ 3 – 7.

Сравнение в блоке № 3 проверяется факт убывания функции в выбранном направлении:  $f(Y + \lambda \times s_j) < f(Y)$ . Если функция убывает, выход «да» блока № 3, то текущая точка перемещается в выбранном направлении  $Y = Y + \lambda \times s_j$  (блок № 4).

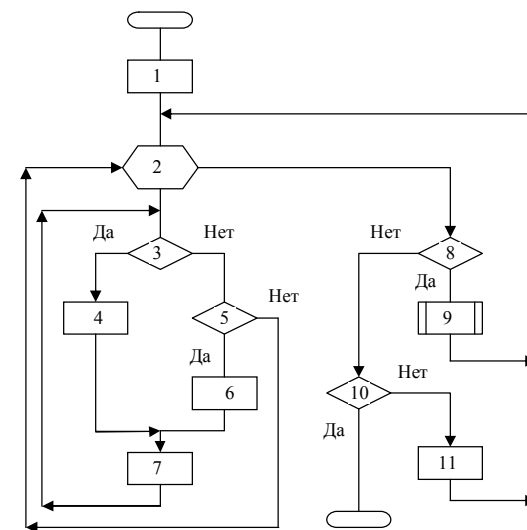


Рисунок 2.18 – Алгоритм метода Хука-Дживса

В противном случае, выход «нет» блока № 3, в блоке № 5 проверяется факт убывания функции в направлении, противоположном выбранному:  $f(Y - \lambda \times s_j) < f(Y)$ .

Если функция не убывает ни в выбранном, ни в противоположном направлениях (выход «нет», блок № 5), то выбирается очередное направление.

Если сравнение в блоке № 5 произошло удачно (выход «да»), то текущая точка решения перемещается в блоке № 6 по закону  $Y = Y + \lambda \times s_j$ .

Блок № 7 выполняет факультативное действие  $\lambda = 2 \times \lambda$ , которое увеличивает шаг, ускоряя тем самым поиск. В ряде реализаций алгоритма данное действие отсутствует.

Блок № 8 достигается в ходе работы алгоритма, после перебора всех направлений поиска и попадания в ситуацию, когда при заданном значении  $\lambda$  в окрестностях точки  $X_0$  убывания функции не обнаружено.

Блок № 9 выполняет пересчёт координат текущей точки по формуле  $Y = X_0 + \alpha \times (Y - X_0)$ ;  $X_0 = Y$ .

Блок № 10 осуществляет проверку окончания:  $\varepsilon \geq \lambda$ ? Если «да» то алгоритм заканчивает работу, если «нет», то шаг поиска уменьшается

$$\lambda = \frac{\lambda}{2},$$

после чего начинается поиск вокруг текущей точки  $X_0$  с уменьшенным шагом.

Пример поиска представлен ниже, на рисунке 2. 19.

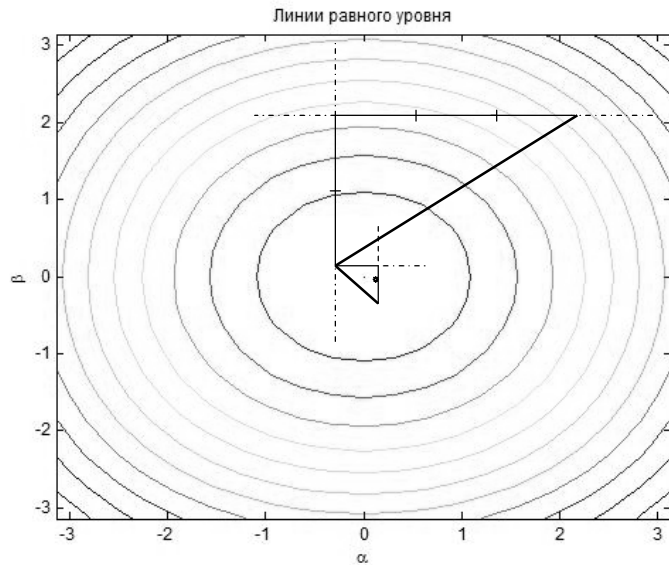


Рисунок 2.19 – Поиск решения методом траекторий

Для демонстрации использована функция вида  $f(\alpha, \beta) = -\frac{\sin(\alpha + \beta)}{\alpha + \beta}$ , которая достигает своего «дна» в точке с координатами (0, 0), это положение отмечено точечкой в середине рисунка, пунктиром показаны неудачные пробы, жирным – траектория спуска.

*Замечания.*

К безусловным **достоинствам** метода следует отнести следующие:

- способность восстанавливать направление движения, когда при искривлении «оврага» тренд поиска теряется;
- явного задания функции не требуется;
- легко учитываются ограничения на переменные и область поиска.

**В качестве недостатка** отмечается, что при попадании в область размытого локального минимума есть риск остановиться, не достигнув глобального минимума.

## Метод Розенброка

Идея метода состоит в поиске по взаимно-ортогональным направлениям на каждом шаге алгоритма, в отличие от алгоритма Хука-Дживса, где поиск осуществляется вдоль координатных осей.

Если поиск, в каком либо из направлений, оказывается удачным, то шаг поиска по этому направлению увеличивается, в противном случае шаг уменьшается.

Поисковая процедура заканчивается, когда на каждом из направлений поиска одна проба окажется успешной, а одна – неудачной.

Данный метод **особенно хорош** при работе с функциями, обладающими длинными, узкими и искривлёнными гребнями и оврагами.

Топология алгоритма представлена на рисунке 2.20.

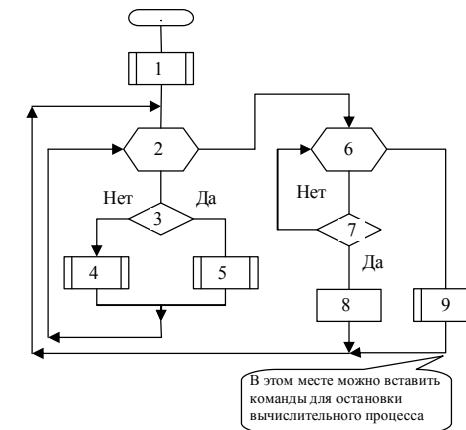


Рисунок 2.20 – Алгоритм метода Розенброка

**Входные данные.** Координаты начальной точки  $X_0$ ; список возможных направлений поиска, первоначально набор ортогональных векторов  $S = \{s_1, s_2, \dots, s_n\}$ ; набор значений шагов поиска  $\Lambda^T = \{\lambda_1, \lambda_2, \dots, \lambda_n\}$ ; ускоряющий множитель  $\alpha$ ; замедляющий множитель  $\beta$ .



Условие окончания: автором не предусмотрено, ибо, скорее всего, считал вручную и вычислительный процесс контролировал визуально. При компьютерной реализации используют один из возможных подходов:

- выполняют несколько фиксированных шагов, после чего алгоритм прекращает свою работу;
- модуль вектора приращений (расстояние между смежными текущими точками на итерации)  $|\Delta| \leq \varepsilon$  несколько раз подряд.

Розенброком были предложены следующие значения констант:  $\alpha = 3$ ,  $\beta = -0,5$ .

Блок № 1 осуществляет подготовительные операции,  $Y = X_0$ .

Блоки №№ 2 – 5 выполняют сканирование направлений: заголовок цикла перебора (блок № 2); вычисление точки в окрестностях текущей точки в выбранном направлении, значения функции и сравнение значений:  $f(Y + \lambda_i s_i) < f(Y)$  (блок № 3).

Если значение функции в выбранном направлении увеличивается или неизменно, выход «нет», то текущее направление поиска штрафуются, путём умножения  $\lambda_i = \beta \times \lambda_i$  и запоминается соответствующие координаты в окрестностях текущей точки  $P_i = Y + \lambda_i s_i$  – блок № 4.

Если функции в выбранном направлении убывает, выход «да», то направление поиска поощряется  $\lambda_i = \alpha \times \lambda_i$ , и также запоминаются координаты  $P_i = Y + \lambda_i s_i$  – блок № 5.

Блоки №№ 6 и 7 осуществляют поиск удачного направления среди просканированных направлений. Блок № 6 – организует циклический перебор, блок № 7 проверяет условие  $f(P_i) < f(Y)$ .

Если первое же попавшееся направление удачное, текущая точка перемещается блоком № 8,  $X_0 = P_i$ , после чего вычислительный процесс возобновляется со сканирования направлений.

Если удачное направление поиска не найдено, то необходимо модифицировать систему направлений, что осуществляется блоком № 9:

- вычисляется приращение  $\Delta = X_0 - Y$ ;
- переопределяется новая точка начала итерации  $Y = X_0$ ;
- новое направление  $s_1$  берется совпадающим с направлением вектора  $\Delta$  (единичные значения по ненулевым координатам), а остальные направления пересчитываются с учётом условия ортогональности.

## 2.5.2.2. Градиентные методы поиска

Эти методы основываются на использовании значений градиентов целевой функции, как следует из их названия.

В зависимости от порядка используемых градиентов бывают первого и второго порядков. Далее мы рассмотрим

- метод наискорейшего спуска (подъёма) – 1-го порядка;
- метод Ньютона (вторых производных) – 2-го порядка;
- метод сопряжённых направлений (сопряжённого градиента), предложенный Флетчером и Ривсом, 1-го порядка;
- методы переменной метрики, квазиньютоновские, 1-го порядка.

Общая идея, положенная в основу этих методов, для случая функции одной переменной, пояснена с помощью рисунка. 2.21.

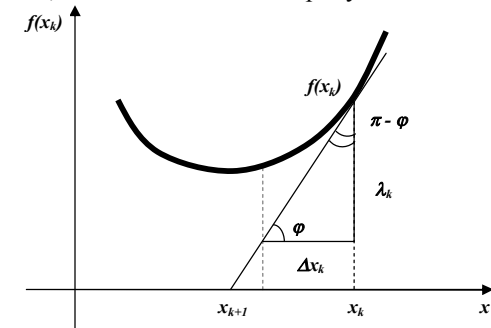


Рисунок 2.21 – Использование градиента

По рисунку видно, что  $x_{k+1} = x_k - \Delta x_k$  и  $\tan \varphi = f'(x_k)$  – геометрический смысл первой производной функции одной переменной.

Рассмотрение прямоугольного треугольника позволяет найти  $\Delta x_k = \lambda_k \cdot f'(x_k)$  при заданном значении  $\lambda_k$ . В этом случае нами использованы формулы связи значений тригонометрических функций при изменении аргумента на величину  $\pm \pi$ .

Для многомерного случая справедливо аналогичное выражение

$$x_{k+1} = x_k - \lambda_k \times \nabla f(x_k), \quad (2.81)$$

где  $\lambda_k > 0$  – величина шага на  $k$ -ой итерации. Все особенности градиентных методов заключаются в приёмах определения  $\lambda_k$  на каждой итерации.